

# Термодинамика лестничного ферромагнетика со случайным поперечным обменом

© П.Н. Тимонин

Научно-исследовательский институт физики Ростовского государственного университета,  
344090 Ростов-на-Дону, Россия

E-mail: timonin@aaanet.ru

(Поступила в Редакцию 6 ноября 2002 г.)

Рассмотрена модель лестничного ферромагнетика с изинговскими спинами, состоящего из двух ферромагнитных цепочек с взаимодействием ближайших соседей и случайным взаимодействием между ближайшими спинами разных цепочек. При определенном выборе параметров случайного взаимодействия описание вырождения основного состояния и термодинамики при  $T = 0$  оказывается довольно элементарным и сводится к использованию статистики одномерных кластеров. Полевые зависимости термодинамических параметров обнаруживают серию фазовых переходов, связанных с изменением спиновых конфигураций антиферромагнитных кластеров. Численное исследование термодинамики такой системы при конечных температурах подтверждает справедливость аналитических результатов, полученных при  $T = 0$ .

Синтез кристаллов с одномерными лестничными структурами вызвал интерес к исследованиям их физических свойств [1]. Особый интерес представляют исследования квазиодномерных структур с различными типами беспорядка, что связано как с возможностью описания реальных кристаллов, так и с большим числом новых физических процессов, вызываемых беспорядком. Пожалуй, наиболее изученными являются магнитные свойства квазиодномерных изинговских систем (см., например, обзор [2]). Хотя магнитные переходы при  $T \neq 0$  в квазиодномерных системах с близкодействующим обменом отсутствуют, беспорядок приводит в них к ряду необычных свойств при  $T = 0$ , таких как вырождение основного состояния и переходы в магнитном поле [2–5]. Это в свою очередь приводит к особенностям температурных и полевых зависимостей физических величин при низких температурах.

Вырождение основного состояния является характерным свойством фаз спинового стекла и различных смешанных фаз, где сосуществуют разные типы магнитного порядка и стекольного беспорядка. С ним связана известная неэргодичность магнитных фаз в неупорядоченных магнетиках [6], поэтому исследование случайных (квази) одномерных систем с фрустрацией, обладающих этим свойством, привлекает постоянное внимание. Вместе с тем лишь немногие из таких простейших систем допускают точное аналитическое описание их термодинамики. В их числе модель одномерного изинговского спинового стекла со случайным бинарным обменом во внешнем поле [3–5] и с некоторыми специальными видами функции распределения обмена [7], а также лестничные стекольные модели с бинарным обменом [4,8]. В этих моделях удается непосредственно установить физическую причину вырождения основного состояния, которая состоит в вырождении по энергии спиновых состояний некоторых магнитных кластеров с определенной конфигурацией обменных взаимодействий [3,5,9]. Однако перечисление таких конфигураций

представляет собой довольно нетривиальную задачу, так что дальнейший прогресс в исследовании упомянутых моделей, например, изучение неэргодической динамики при  $T = 0$ , пока отсутствует.

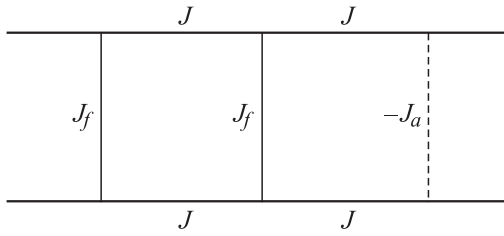
В связи с этим представляется целесообразным поиск и исследование других неупорядоченных квазиодномерных систем с вырожденным основным состоянием, описание которых было бы достаточно простым. В этом отношении лестничные модели дают большие возможности, а также определенную надежду на возможность экспериментальной проверки теоретических результатов. В настоящей работе рассмотрена модель лестничного ферромагнетика с изинговскими спинами, состоящего из двух ферромагнитных цепочек с взаимодействием ближайших соседей и имеющих случайное взаимодействие между ближайшими спинами разных цепочек. При определенном выборе параметров случайного взаимодействия описание вырождения основного состояния и термодинамики при  $T = 0$  оказывается довольно элементарным и сводится к использованию статистики одномерных кластеров. Численное исследование термодинамики такой системы при конечных температурах подтверждает справедливость аналитических результатов, полученных при  $T = 0$ .

## 1. Термодинамика при $T = 0$

Спиновый гамильтониан рассматриваемой модели имеет вид

$$\mathcal{H} = - \sum_{i=1}^N [J(S_{1i}S_{1i+1} + S_{2i}S_{2i+1}) + J_r S_{1i}S_{2i} + H(S_{1i} + S_{2i})]. \quad (1)$$

Здесь  $S_{\alpha,i} = \pm 1$ ,  $H > 0$  — магнитное поле,  $J > 0$  — константа ферромагнитного обмена цепочек,  $J_r$  — константа случайного обмена между ближайшими спинами



**Рис. 1.** Схематическое изображение лестничного ферромагнетика со случайным поперечным обменом.

разных цепочек, принимающая два значения  $J_r = -J_a$ , с вероятностью  $p$ ;  $J_r = J_f$ , с вероятностью  $1 - p$ .

Таким образом, в каждой конкретной реализации  $J_r$  система состоит из кластеров, содержащих антиферромагнитные ( $-J_a$ ) и ферромагнитные ( $J_f$ ) взаимодействия между цепочками. На рис. 1 представлено схематическое изображение лестничного ферромагнетика для некоторой реализации случайного поперечного обмена.

Далее будем полагать, что  $J_f > 2J$ . В этом случае в основном состоянии в ферромагнитных кластерах спины равны 1, так что остается определить направления спинов в антиферромагнитных кластерах. Рассмотрим изменение энергии антиферромагнитных кластеров при переходе от ферромагнитного состояния (все  $S_{1,i}S_{2,i} = 1$ ) к конфигурации с противоположными спинами в  $n$  идущих подряд ячейках (если такие ячейки идут не подряд, то энергия конфигурации будет выше)

$$\delta E_n = -2n(J_a - H) + 4J. \quad (2)$$

При  $H > J_a$   $\delta E_n > 0$  и наличие противоположно направленных спинов в ячейках будет невыгодным, так что (единственное) основное состояние будет ферромагнитным со средней энергией на одну ячейку

$$E_f = -2J + pJ_a - (1 - p)J_f - 2H. \quad (3)$$

При  $H < J_a$  наименьшую энергию имеют конфигурации с наибольшим  $n$ , совпадающим с размером кластера (все  $S_{1,i}S_{2,i} = -1$ ). Такое антиферромагнитное упорядочение будет выгоднее для достаточно больших антиферромагнитных кластеров с числом ячеек, большим или равным целому числу  $n_0$ , удовлетворяющему условию

$$2J/(J_a - H) < n_0 < 1 + 2J/(J_a - H), \quad (4)$$

если  $2J/(J_a - H)$  — не целое число. Если  $2J/(J_a - H)$  — целое число, то  $n_0 = 2J/(J_a - H)$ , причем в этом случае кластеры из  $n_0$  ячеек имеют равные энергии ферро- и антиферромагнитного упорядочения.

Энергия основного состояния при  $H < J_a$  будет меньше  $E_f$  на величину выигрышей от перехода антиферромагнитных кластеров с  $n \geq n_0$  в антиферромагнитное состояние

$$E = E_f + \sum_{n=n_0}^{\infty} N_n \delta E_n. \quad (5)$$

Здесь  $N_n$  — среднее число антиферромагнитных кластеров из  $n$  ячеек в расчете на одну ячейку [10]

$$N_n = p^n (1 - p)^2. \quad (6)$$

Поскольку антиферромагнитное упорядочение кластера может реализоваться двумя способами, а основное состояние оказывается вырожденным со средней энтропией

$$S = \sum_{n=n_0}^{\infty} N_n \ln 2 + \delta_{n_0, 2J/(J_a - H)} N_{n_0} \ln \frac{3}{2}. \quad (7)$$

Последний член в (7) учитывает вырожденность по энергии ферро- и антиферромагнитного упорядочения  $n_0$ -кластеров, когда  $2J/(J_a - H)$  — целое число.

Среднюю намагниченность в основном состоянии при  $H < J_a$  можно найти, вычитая из ферромагнитной намагниченности (единицы) долю спинов в кластерах с антиферромагнитным упорядочением

$$M = 1 - \sum_{n=n_0}^{\infty} n N_n + \delta_{n_0, 2J/(J_a - H)} \frac{n_0 N_{n_0}}{3}. \quad (8)$$

Отметим, что в отличие от энтропии и энергии, получаемых усреднением по возможным конфигурациям связей, средняя намагниченность определяется как среднее по основным состояниям с последующим усреднением по связям. Последнее слагаемое в (8) учитывает вырожденность ферро- и антиферромагнитных состояний  $n_0$ -кластеров, если  $2J/(J_a - H)$  — целое число. Действительно, из  $3^{N \cdot N_{n_0}}$  состояний, отличающихся конфигурацией  $n_0$ -кластеров, имеется  $2^k \binom{N N_{n_0}}{k}$  состояний с антиферромагнитной конфигурацией спинов в  $k$  кластерах, так что среднее число спинов на узел в  $n_0$ -кластерах с антиферромагнитным упорядочением

$$\sum_{k=1}^{N N_{n_0}} \frac{n_0 k}{N} 2^k \binom{N N_{n_0}}{k} 3^{-N \cdot N_{n_0}} = \frac{2}{3} n_0 N_{n_0},$$

откуда и следует (8).

Подставляя (2), (6) в (5), (7), (8), получим явные выражения для средней энергии, энтропии и намагниченности при  $T = 0$

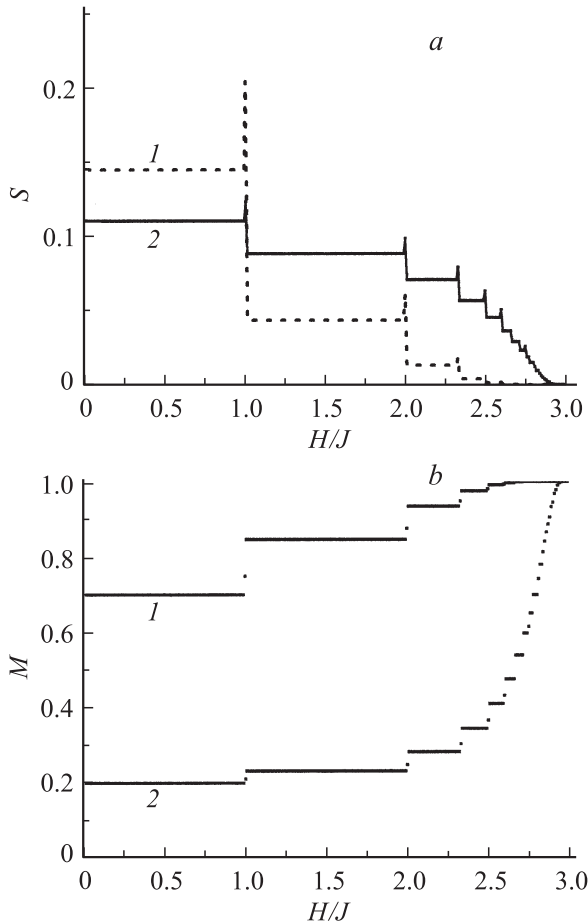
$$E = -2J[1 - 2p^{n_0}(1 - p)] + J_a[p - 2L(n_0, p)] - 2H[1 - 2L(n_0, p)] - (1 - p)J_f, \quad (9)$$

$$S = p^{n_0}(1 - p) \left[ \ln 2 + \delta_{n_0, 2J/(J_a - H)} (1 - p) \ln \frac{3}{2} \right], \quad (10)$$

$$M = 1 - L(n_0, p) + \delta_{n_0, 2J/(J_a - H)} \frac{n_0 p^{n_0} (1 - p)^2}{3}. \quad (11)$$

Здесь

$$L(n_0, p) = \sum_{n=n_0}^{\infty} n N_n = p^{n_0} [p + n_0(1 - p)].$$



**Рис. 2.** Полевые зависимости термодинамических параметров при  $T = 0$  и  $J_a = 3J$ ,  $a$  — энтропии,  $b$  — намагниченности;  $1$  —  $p = 0.3$ ,  $2$  —  $0.8$ .

Полевые зависимости энтропии и намагниченности, представленные на рис. 2 для  $J_a = 3J$ ,  $p = 0.3$  и  $0.8$ , имеют ступенчатый вид со скачками при целых  $2J/(J_a - H)$ , характерный для (квази) одномерных изинговских магнетиков с дискретным беспорядком [2–4]. Физическая причина такого поведения вполне очевидна, с ростом поля происходит изменение спиновых конфигураций (от антиферромагнитной к ферромагнитной) все более крупных кластеров с антиферромагнитными связями. При  $H < J_a$ , в точках  $H_k = J_a - 2J/k$ ,  $k = 1, 2, \dots$ , имеет место серия переходов между фазами, в которых существует ферромагнитное и стекольное упорядочение спинов. Энергия (9) непрерывна в точках переходов. Доля стекольного беспорядка и вырождение основного состояния (энтропия) уменьшаются с ростом поля и, наконец, система становится ферромагнитной при  $H > J_a$ . Таким образом, мы имеем типичную систему с фрустрацией, вызванной беспорядком, однако, в отличие от ранее рассмотренных моделей [2–5, 7–9] описание свойств лестничного ферромагнетика со случайным поперечным обменом при  $T = 0$  в случае, когда  $J_f > 2J$ , вполне элементарно.

Отметим, что полученные выражения для энергии и намагниченности удовлетворяют стандартному термодинамическому соотношению

$$2M = -\frac{\partial E}{\partial H},$$

если  $2J/(J_a - H)$  не является целым числом. Если же  $2J/(J_a - H)$  — целое число, то это соотношение не выполняется, так как из (9) следует, что в точках переходов энергия испытывает излом и ее производной по  $H$  не существует. Причина этого заключается в неравномерном по  $H$  стремлении  $\partial E_N/\partial H$  к своему пределу при  $N \rightarrow \infty$  вблизи таких  $H$ , что не позволяет дифференцировать предельное значение  $E$  по  $H$ . В этом случае правильный результат для намагниченности, совпадающий с (11), может быть получен, если дифференцирование по  $H$  выполняется до предельного перехода  $N \rightarrow \infty$

$$2M = -\lim_{N \rightarrow \infty} \partial E_N/\partial H.$$

## 2. Термодинамика при конечных температурах

Исследование термодинамики рассматриваемой модели при конечных температурах может быть выполнено с использованием стандартных методов, применяемых для изучения случайных квазиодномерных систем с близкодействием [11]. Введем частичную статсумму

$$Z_N(S_1, S_2) = \text{Tr}_{N-1}[\exp(-\beta\mathcal{H})].$$

Здесь  $\beta = 1/T$ , а  $\text{Tr}_{N-1}$  означает суммирование по конфигурациям всех спинов за исключением спинов последней ячейки  $(S_1, S_2)$ . Величины  $Z_N(S_1, S_2)$  удовлетворяют следующим рекуррентным соотношениям:

$$Z_{N+1}(\mathbf{S}) = \text{Tr}_{\mathbf{S}'} R(\mathbf{S}, \mathbf{S}') Z_N(\mathbf{S}'), \quad (12)$$

где  $R(\mathbf{S}, \mathbf{S}')$  — матрица переноса. В дальнейшем будем рассматривать случай  $H = 0$ , так что

$$R(\mathbf{S}, \mathbf{S}') = \exp[\beta J(\mathbf{S}, \mathbf{S}') + \beta J_r S_1 S_2].$$

В этом случае частичную статсумму можно представить в виде

$$Z_N(\mathbf{S}) = \frac{Z_N}{4} (1 + \sigma_N S_1 S_2),$$

где  $Z_N$  — обычная статсумма,

$$Z_N = \text{Tr}_N[\exp(-\beta\mathcal{H})].$$

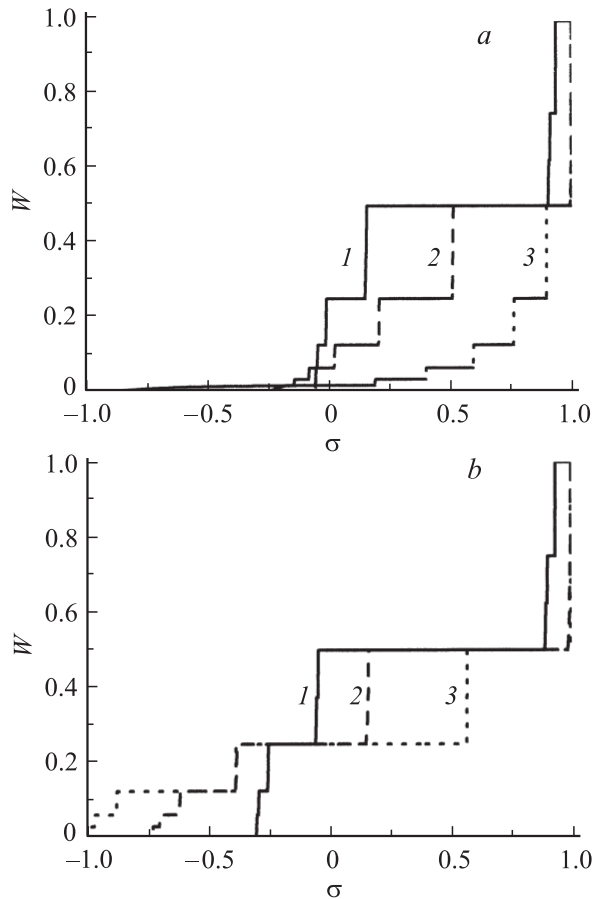
а  $\sigma_N$  — среднее значение произведения спинов в одной ячейке,

$$\sigma_N = \text{Tr}_N(S_1 S_2 e^{-\beta\mathcal{H}})/Z_N \equiv \langle S_1 S_2 \rangle_N.$$

Из (12) следует

$$Z_{N+1} = 4 \text{ch}^2(\beta J) \text{ch}(\beta J_r) [1 + \text{th}^2(\beta J) \text{th}(\beta J_r) \sigma_N] Z_N, \quad (13)$$

$$\sigma_{N+1} = \frac{\text{th}(\beta J_r) + \text{th}^2(\beta J) \sigma_N}{1 + \text{th}(\beta J_r) \text{th}^2(\beta J) \sigma_N}. \quad (14)$$



**Рис. 3.** Проинтегрированная функция распределения  $w(\sigma)$  при  $p = 0.5$ ,  $J_f = 3J$ ;  $a$  —  $J_a = 0.1$ ,  $b$  —  $0.5J$ ;  $T = 2J$  (1),  $T = J$  (2),  $T = 0.5J$  (3).

Из (14) в свою очередь следует при  $N \rightarrow \infty$  уравнение для функции распределения величины  $\sigma$  [11]

$$\rho(\sigma) = \int_{-1}^1 d\sigma' \langle \delta[\sigma - f(\sigma', J_r)] \rangle_{J_r} \rho(\sigma'), \quad (15)$$

где  $f(\sigma', J_r)$  — функция в правой части (14)

$$f(\sigma, J_r) = \frac{\text{th}(\beta J_r) + \text{th}^2(\beta J)\sigma}{1 + \text{th}(\beta J_r)\text{th}^2(\beta J)\sigma}, \quad (16)$$

а угловые скобки обозначают усреднение по случайному обмену.

Определив из (15)  $\rho(\sigma)$ , можно найти из (13) средний термодинамический потенциал

$$\begin{aligned} F &\equiv - \lim_{N \rightarrow \infty} \frac{T}{N} \langle \ln Z_N \rangle \\ &= -T \ln[4 \text{ch}^2(\beta J)] - T \langle \ln[\text{ch}(\beta J_r)] \rangle_{J_r} \\ &\quad - T \int_{-1}^1 d\sigma \rho(\sigma) \langle \ln[1 + \text{th}^2(\beta J)\text{th}(\beta J_r)\sigma] \rangle_{J_r}. \quad (17) \end{aligned}$$

Уравнение (15) можно решить только численно. При этом удобно его несколько преобразовать. Продолжив  $\rho(\sigma)$  нулем на область  $\sigma^2 > 1$ , внося интегрирование под знак усреднения и интегрируя, получим

$$\rho(\sigma) = \left\langle \frac{\partial g(\sigma, J_r)}{\partial \sigma} \rho[g(\sigma, J_r)] \right\rangle_{J_r}, \quad (18)$$

где  $g(\sigma, J_r)$  — функция, обратная  $f(\sigma, J_r)$  (16),

$$g(\sigma, J_r) = \text{th}^{-2}(\beta J) \frac{\sigma - \text{th}(\beta J_r)}{1 - \sigma \text{th}(\beta J_r)}.$$

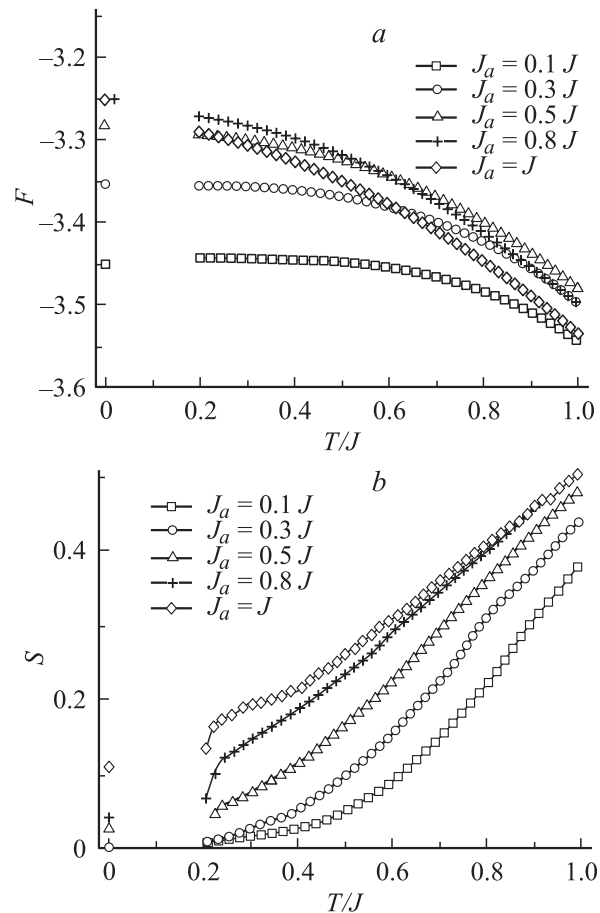
Интегрируя (18) по  $\sigma$ , получим

$$w(\sigma) = \langle w[g(\sigma, J_r)] \rangle_{J_r}, \quad (19)$$

где

$$w(\sigma) = \int_{-1}^{\sigma} d\sigma' \rho(\sigma').$$

Проинтегрированная функция распределения  $w(\sigma)$  удовлетворяет более простому уравнению (19) и имеет более слабые особенности (скачки) в отличие от  $\rho(\sigma)$ ,



**Рис. 4.** Температурные зависимости термодинамических параметров при  $p = 0.5$ ,  $J_f = 3J$  и различных значениях  $J_a$ ;  $a$  — термодинамический потенциал,  $b$  — энтропия.

в которой могут присутствовать дельта-функции. Потому численное решение (19) существенно проще. Оно может быть выполнено методом итераций. При выборе начальной функции  $w_0(\sigma) = 0.5(1 + \sigma)$  сходимость к решению достигается через 5–10 итераций. Вид  $w(\sigma)$  при  $p = 0.5$ ,  $J_f = 3J$  и некоторых значениях температуры и  $J_a$  приведен на рис. 3.

Вычисленные с помощью (17) температурные зависимости термодинамического потенциала  $F$  при  $p = 0.5$ ,  $J_f = 3J$  и различных  $J_a$  представлены на рис. 4, *a*, а на рис. 4, *b* изображена энтропия, полученная численным дифференцированием  $F(T)$ . К сожалению, вычисления при  $T < 0.2J$  требуют весьма длительного времени для достижения приемлемой точности. Однако, и результаты при  $T > 0.2J$  на рис. 4, *a* показывают, что при низких температурах значения  $F(T)$  стремятся к соответствующим средним значениям  $E(T = 0)$  (9), представленным на рисунке. Поведение энтропии также согласуется с результатами при  $T = 0$  (10) (рис. 4, *b*). Таким образом, простые аналитические результаты, полученные при  $T = 0$ , действительно адекватно описывают термодинамику рассматриваемой модели.

Представляется, что модель с такой простой, но нетривиальной термодинамикой при  $T = 0$ , обладающая всеми свойствами фрустрированных неупорядоченных систем, может служить тестовой моделью для проверки различных приближенных подходов к описанию более сложных низкоразмерных неупорядоченных магнетиков. Очевидно, что и динамика этой модели при  $T = 0$  будет нетривиальной, обладая всеми присущими неэргодическим системам эффектами. Можно надеяться, что описание таких динамических эффектов также будет достаточно простым в рамках этой модели, если не аналитическим, то, возможно, не требующим длительных численных расчетов. Отметим также и возможность физической ее реализации, при которой случайный обмен может быть создан введением примесей между ферромагнитными цепочками.

## Список литературы

- [1] E. Dagotto. Rep. Prog. Phys. **62**, 8, 1525 (1999).
- [2] R. Liebmann. Statistical Mechanics of Periodic Frustrated Ising Systems. Lect. Notes Phys. Vol. 251. Springer, Berlin (1986).
- [3] A. Vilenkin. Phys. Rev. B **18**, 3, 1474 (1978).
- [4] B. Derrida, J. Vannimenus, Y. Pomeau. J. Phys. **C11**, 16, 4749 (1978).
- [5] E. Farhi, S. Guttman. Phys. Rev. B **48**, 13, 9508 (1993).
- [6] K. Binder, A.P. Young. Rev. Mod. Phys. **58**, 4, 801 (1986).
- [7] J.M. Luck, Th. M. Nieuwenhuizen. J. Phys. **A22**, 7, 2151 (1989).
- [8] D.C. Mattis, P. Paul. Phys. Rev. Lett. **83**, 18, 3733 (1999).
- [9] F. Igloi. J. Phys. **A27**, 10, 2995 (1994).
- [10] D. Stauffer, A. Aharony. Introduction to Percolation Theory. Taylor & Francis, London (1992).
- [11] D. Andelman. Phys. Rev. B **34**, 9, 6214 (1986).